

## الفصل الثاني : الجدران الوتدية

### 2. 1 تعريف الجدران الوتدية

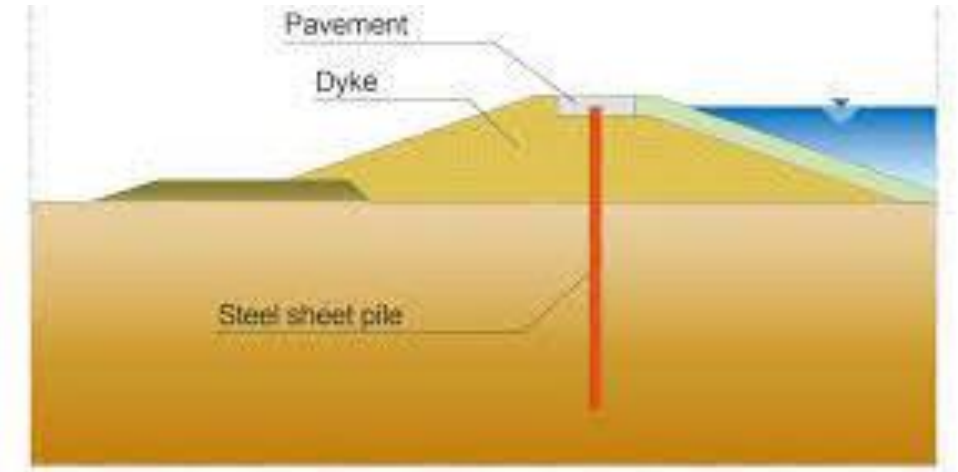
هي جدران مستمرة مؤلفة من صفائح وتدية مدقوقة شاقولياً بعضها إلى جانب البعض الآخر بواسطة آلات الدق (أو الغرز).



## 2.2 استخدامات الجدران الوتية

- 1- بناء و تدعيم أحواض التأسيس
- 2- تأمين كتامة حفر التأسيس الأخفض من منسوب المياه الجوفية
- 3- تستخدم كعنصر إنشائي: جدار رصيف ميناء - حائط لحماية ركائز الجسور النهرية من النحر - جدار كتامة تحت الهدارات لزيادة طول مسار التسرب و تخيف الميل الهيدروليكي للمياه المتربعة

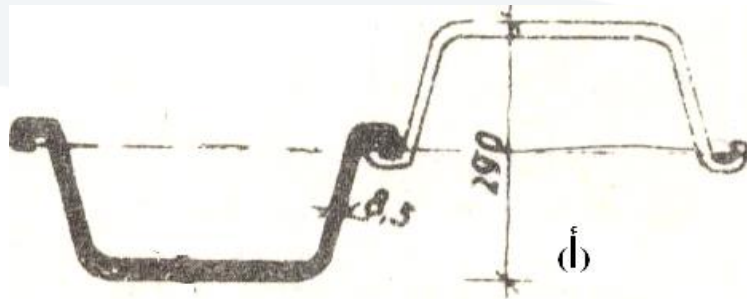




## 3. أنواع الجدران الوتدية

- 1- الجدران الوتدية الخشبية: تستخدم عادة من أجل منشآت خفيفة مؤقتة حتى عمق 3m
- 2- الجدران الوتدية البيتونية: السماكة 15-25cm تستطيع تحمل الإجهادات الناتجة خلال فترة الإنشاء و ما بعدها. تتميز بقدرتها الكبيرة على تحمل الدق.
- 3- الجدران الوتدية المعدنية: و هي الأكثر استخداماً السماكة بحدود 100-13mm. يمكن دفعها حتى عمق 30m و تتميز بأنها تعيش طويلاً (حتى 100 سنة في حالة المياه غير المالحة)، كما تتميز بخفتها وزنها و إمكانية استخدامها أكثر من مرة.

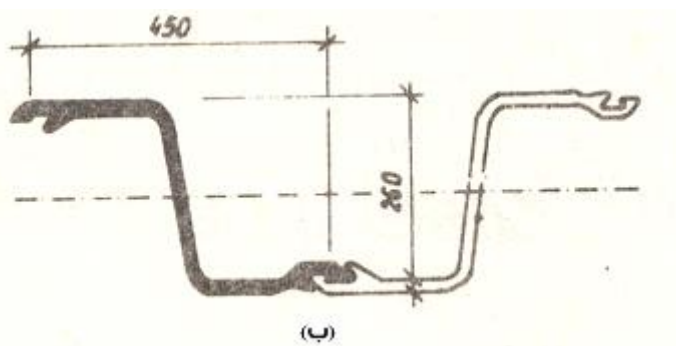
## 4.2 أشكال الصفائح المعدنية



شكل U (صفائح لارسن)

أ- صفائح بشكل U (صفائح لارسن) (الشكل -أ): لها نفس شكل القفل في الأطراف. ينفذ الجدار الوتدي منها بزلق قفل الصفيحة المعدنية ضمن قفل الصفيحة المجاورة بحيث توضع الصفائح بشكل متناوب بالنسبة لمحور الجدار الوتدي (صفحة إلى يمين الجدار تلهمها صفيحة إلى يساره وهكذا) و بالتالي تكون جميع أقفال الصفائح الوتدية واقعة على محور الجدار الوتدي مما يؤدي إلى استمرارية متقطعة في الجدار بسبب الأقفال مما يضعف العزم المقاوم للجدار في الجزء الحر منه.

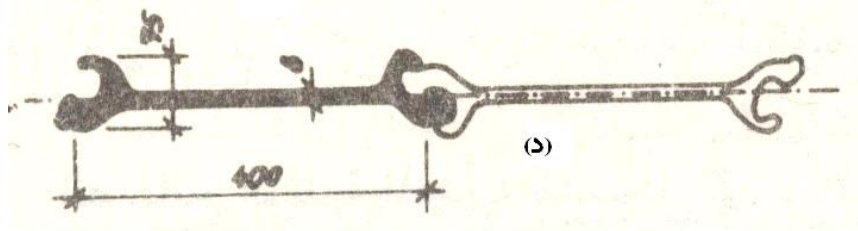
ب- صفائح بشكل Z (الشكل -ب): تكون الأقفال بعيدة عن محور الجدار و بالتالي تحسب بعزم مقاوم كامل لا يتعلق بطول الغرز ضمن التربة.



شكل Z

شكل 5

مستوية



ج- صفائح بشكل S (الشكل 2.3-ج)

د- صفائح مستوية (الشكل 2.3-د) : تتحمل قوى شد كبيرة ولا تتطاول، ولذلك يفضل استخدامها في الأحواض الأسطوانية

## 2.5 الحساب статики للجدران الوتدية المعدنية الظفرية

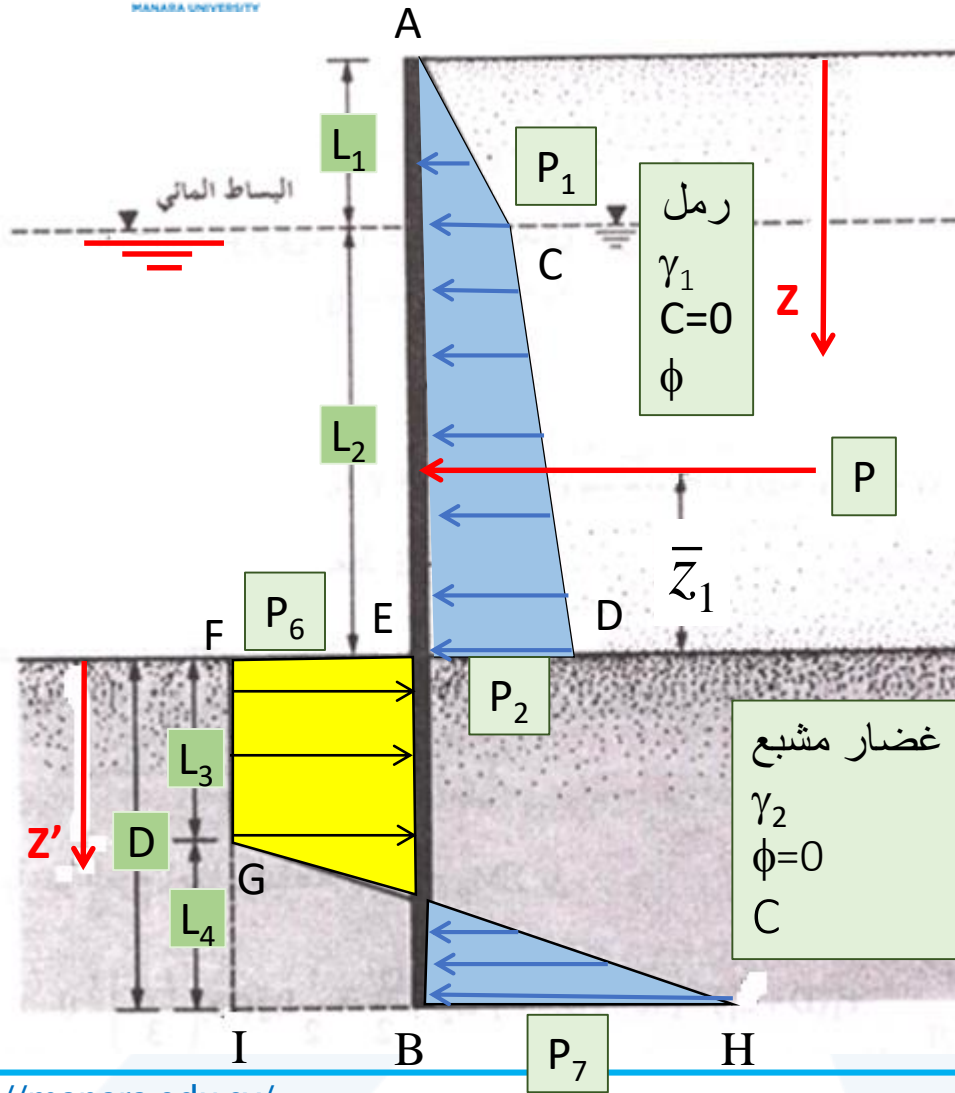
تستخدم الجدران الوتدية المعدنية الظفرية عادة للارتفاعات المتوسطة ( $6m \leq$ ) فوق منسوب أرضية حوض التأسيس أو منسوب خط التجريف) و تأتي تسميتها بالظفرية من كون الصفائح الوتدية تعمل كجائز ظفري عريض فوق خط التجريف. تحسب هذه الجدران كجوائز موثوقة بشكل مرن في التربة و الجدار الوتدي لا يتشهو فقط في جزئه العلوي الظاهر و إنما يتشهو أيضاً ضمن التربة حيث يوجد المقطع المجهد إجهاداً أعظمياً.

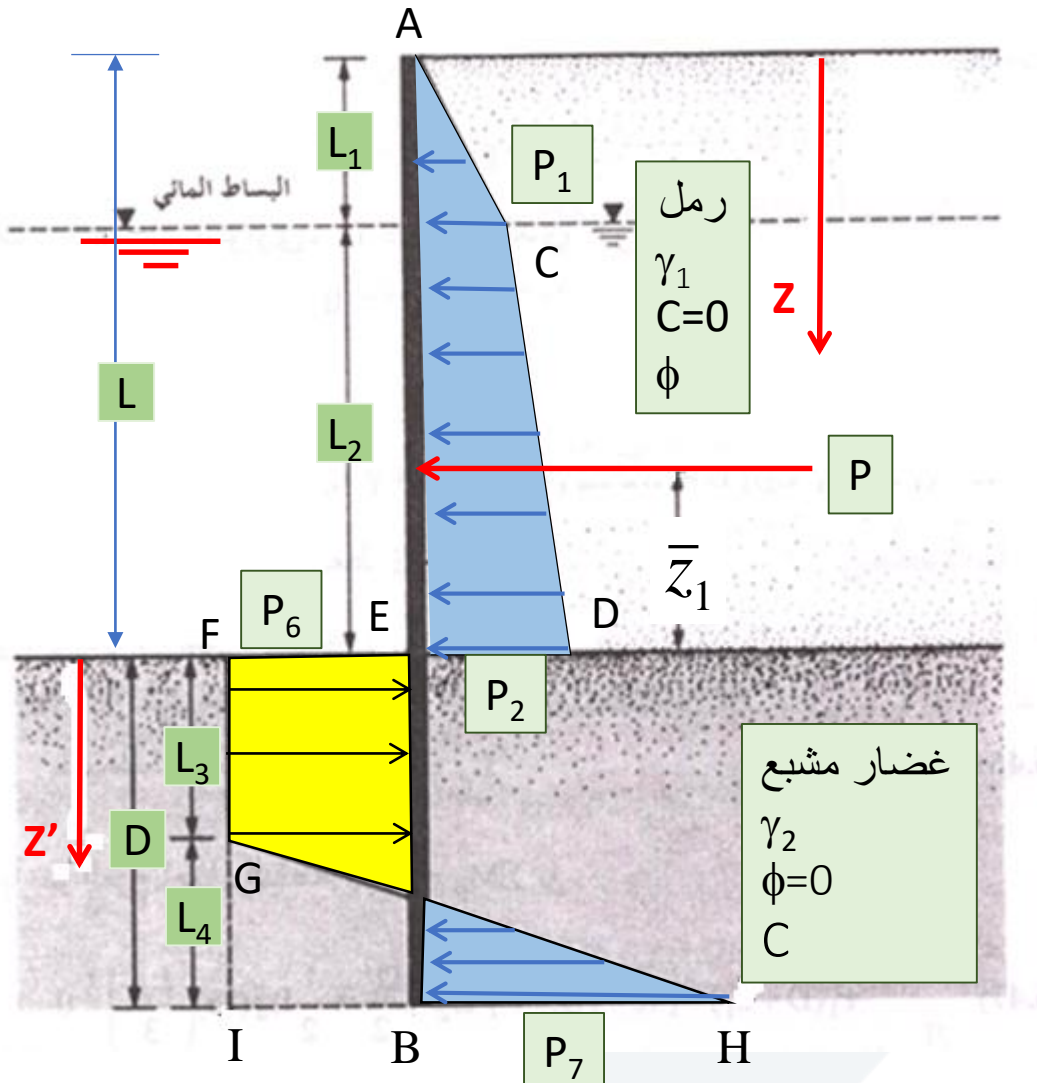
من المفروض أن يتم حل الجائز الموثوق بشكل مرن بواسطة المعادلات التفاضلية لتشوهه و لكن نظراً لصعوبة ذلك فسنقبل بالافتراضات التقريبية التالية التي تسمح بحل الجدار كجائز مقرر ستاتيكيًّا و بالتالي استخدام معادلات التوازن статики:

- الجدار الوتدي لا يتشهو و إنما يدور فقط بنتيجة الضغط و كأنه عنصر صلب
- دوران الجدار الوتدي يكون حول نقطة تقع ضمن التربة

### دراسة الصفائح الوتدية المغروزة في الغضار المشبع

بفرض وجود جدار وتدى يسند تربة رملية متجانسة أمام الجدار حتى منسوب حوض التأسيس، وتحتها تربة غضارية مشبعة وفرض أن منسوب المياه الجوفية متساوي على جانبي الجدار وأن الجدار يدور حول نقطة  $O$  واقعة تحت منسوب أرضية حوض التأسيس(خط التجريف)





$$K_p = \tan^2(45 + \phi/2) \quad K_a = \tan^2(45 - \phi/2)$$

$$P_1 = \gamma_1 \cdot L_1 \cdot K_{a1}$$

$$P_2 = (\gamma_1 \cdot L_1 + \gamma_{1\text{sub}} \cdot L_2) K_{a1} = q K_{a1}$$

طبقة الغضار المشبع :

1- من العمق  $L$   $Z=L$  حتى العمق  $Z=L_3$

$$p_a = [q + \gamma_2(z - L)] K_{a2} - 2C \sqrt{K_{a2}} = q + \gamma_2(z - L) - 2C$$

$$p_p = \gamma_2(z - L) K_{p2} + 2C \sqrt{K_{p2}} = \gamma_2(z - L) + 2C$$

$$P_6 = p_a - p_p = q - 4C = -(4C - q)$$

2- عند العمق  $Z=L+D=L+L_3+L_4$

$$p_p = [q + \gamma_2(z - L)] K_{p2} + 2C \sqrt{K_{p2}} = q + \gamma_2(z - L) + 2C$$

$$p_a = \gamma_2(z - L) K_{a2} - 2C \sqrt{K_{a2}} = \gamma_2(z - L) - 2C$$

$$P_7 = p_p - p_a = 4C + q$$

## 1- معادلة إسقاط القوى الأفقية: $\sum F = 0$

$$A_{(ACDE)} - A_{(EFIB)} + A_{(GIH)} = 0$$

$$P - (4C - q) \cdot D + \frac{1}{2} \cdot L_4 (4C - q + 4C + q) = 0$$

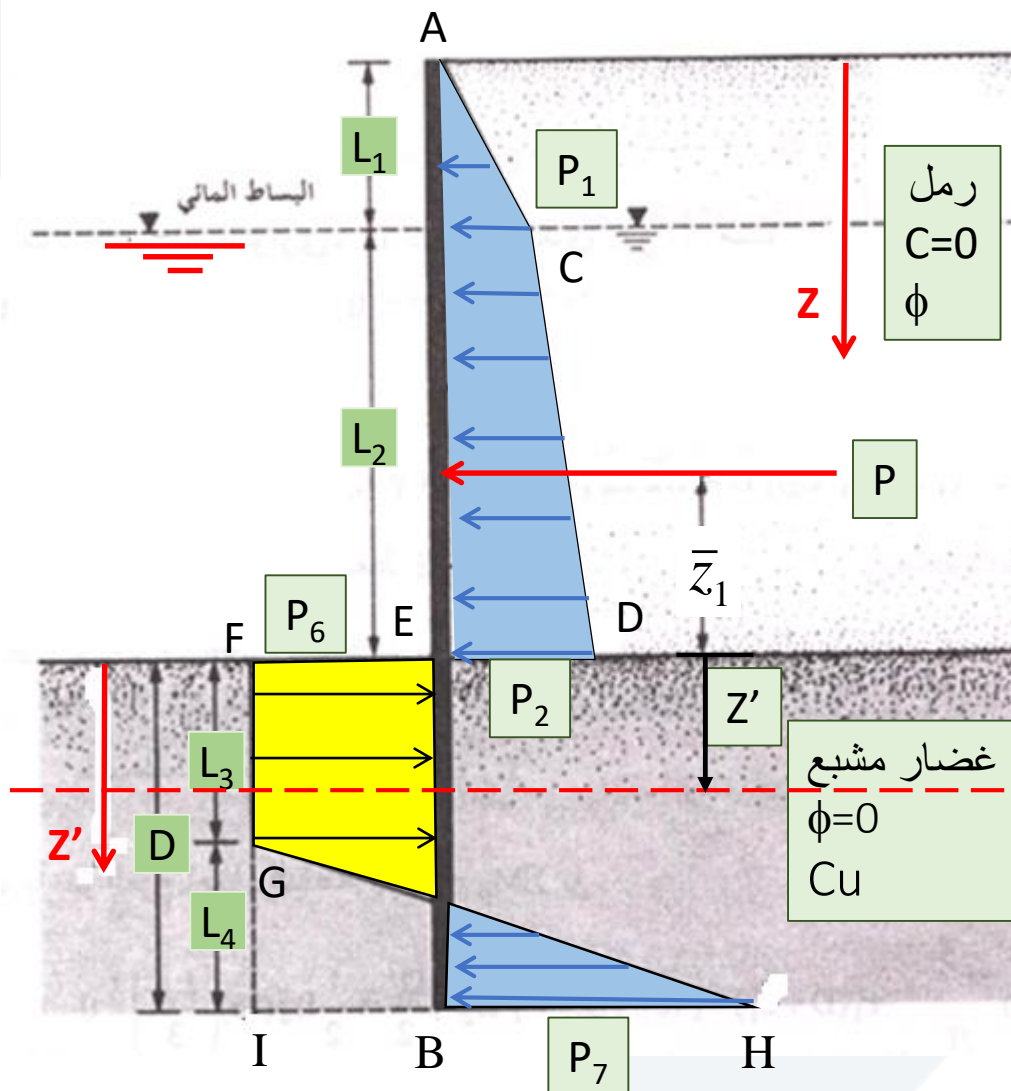
$$L_4 = \frac{D(4C - q) - P}{4C}$$

## 2- معادلة عزم حول B: $\sum M_B = 0$

$$P(D + \bar{Z}_1) - (4C - q) \frac{D^2}{2} + \frac{1}{2} \cdot L_4 \cdot (8C) \left( \frac{L_4}{3} \right) = 0$$

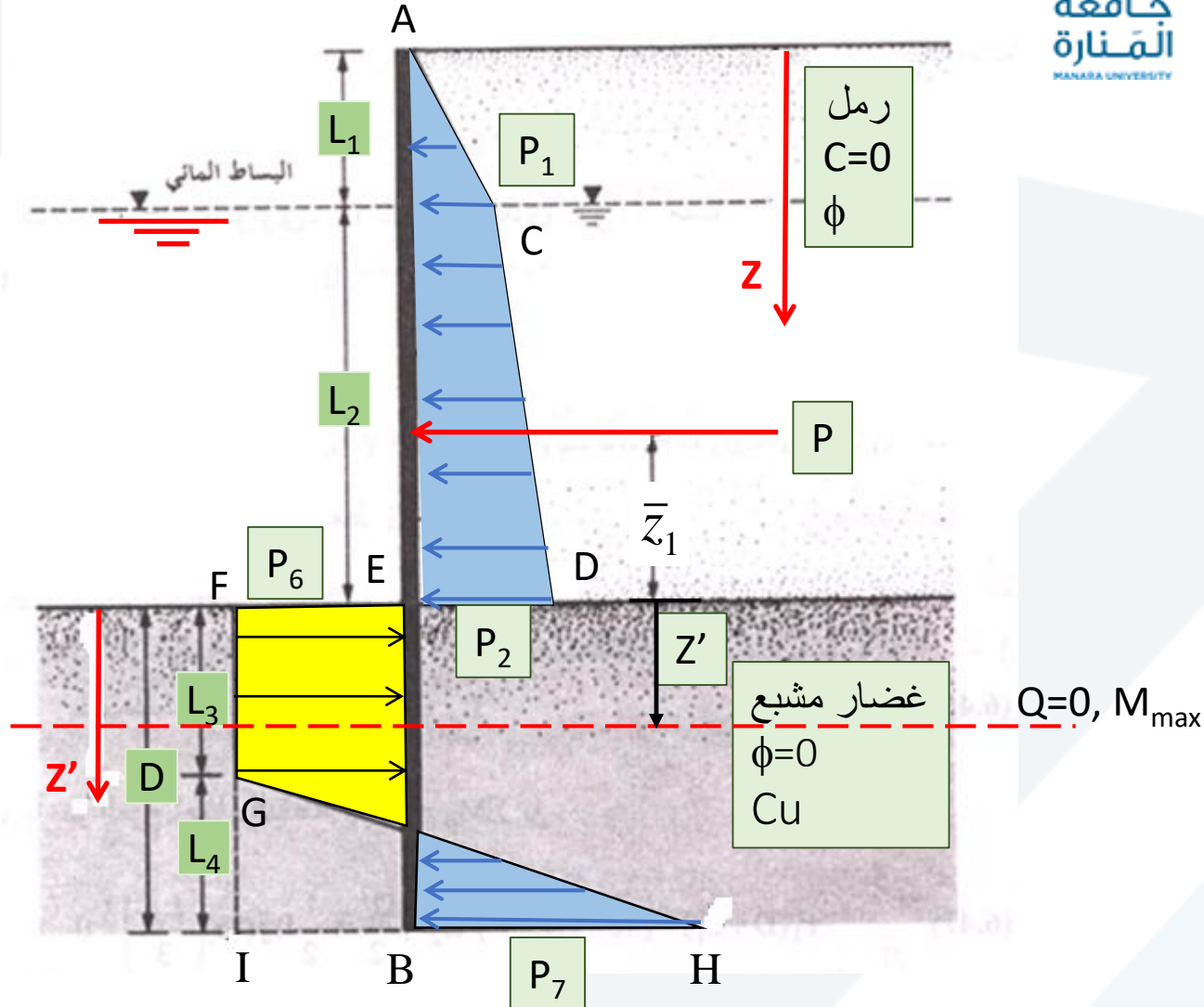
بالتغيير عن  $L_4$  بقيمتها نحصل على معادلة من الدرجة الثانية بالنسبة ل  $D$ . بحلها نحصل على  $D$  (العمق النظري لغزو الصنف الودية ضمن الطبقة الغبارية)

ملاحظة: نحصل على عمق الغزو الفعلي بزيادة  $D$  بمقدار 50% (نأخذ  $1.5D$ )



## حساب العزم الأعظمي

العزم الأعظمي (القص عند معدوم) سيقع بين النقطتين E و G.

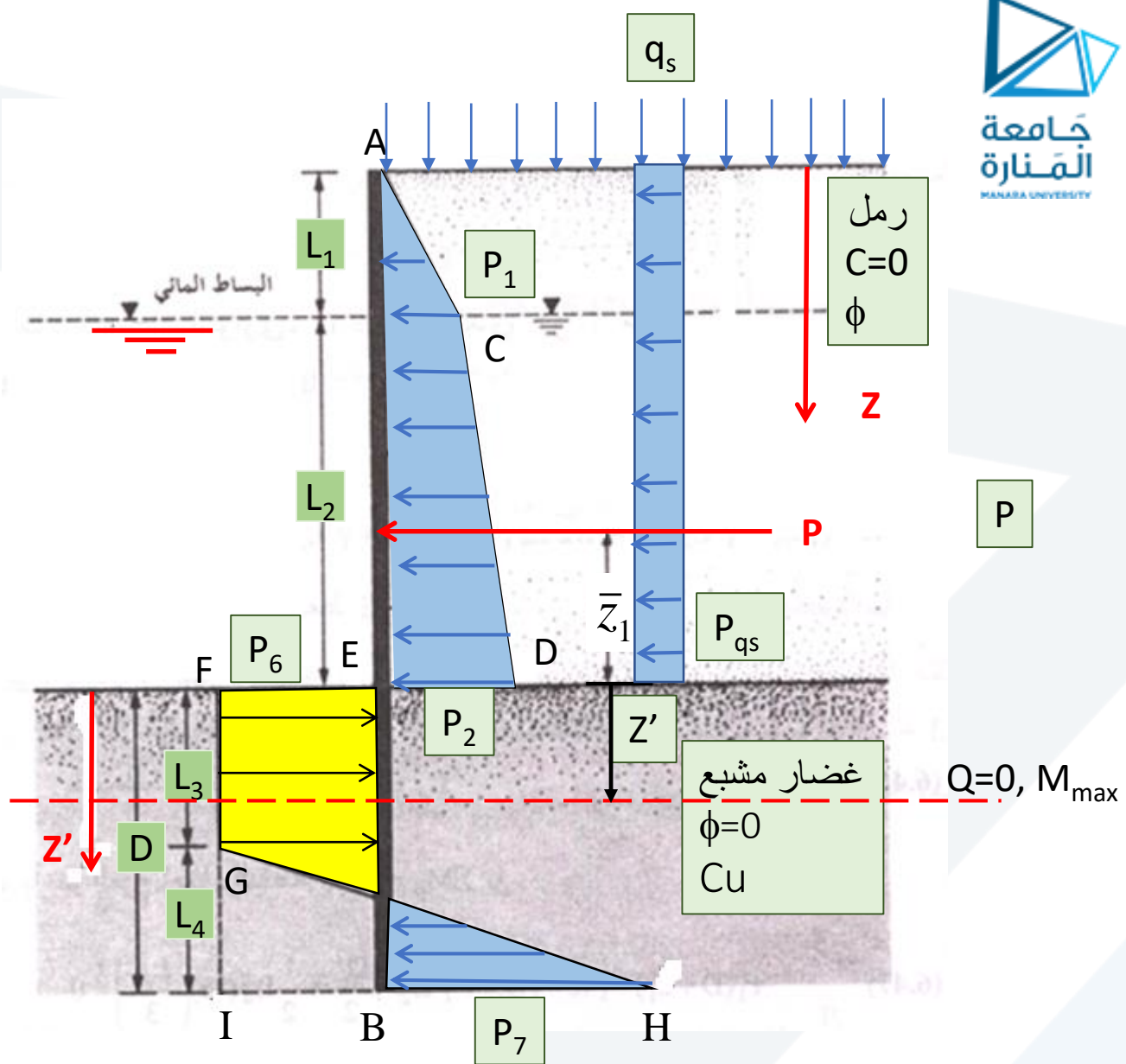


$$Q=0 \Rightarrow P - P_6 \cdot Z' = 0$$

$$\Rightarrow Z' = \frac{P}{P_6}$$

$$M_{max} = P(\bar{z}_1 + Z') - P_6 \cdot \frac{Z'^2}{2}$$

### حالة وجود حمولة خلف الجدار الوطني



يؤخذ تأثير الحمولة الخارجية خلف الجدار الوتدي بنفس الطريقة التي تم عرضها في الفصل الأول وسنذكر هنا فقط حالة حمولة موزعة بانتظام  $q_s$  ممتدة على مساحة واسعة خلف الجدار

تسبب الحمولة الخارجية ضغطاً جانبياً إضافياً  $P_{qs}$  على كامل ارتفاع الجدار الوتدية. يحسب هذا الضغط بالعلاقة التالية:

$$P_{qs} = q_s \cdot K_{a1}$$

تضاف محصلة  $P_{qs}$  إلى محصلة الضغط الجانبي  $P$  فوق خط التجريف:

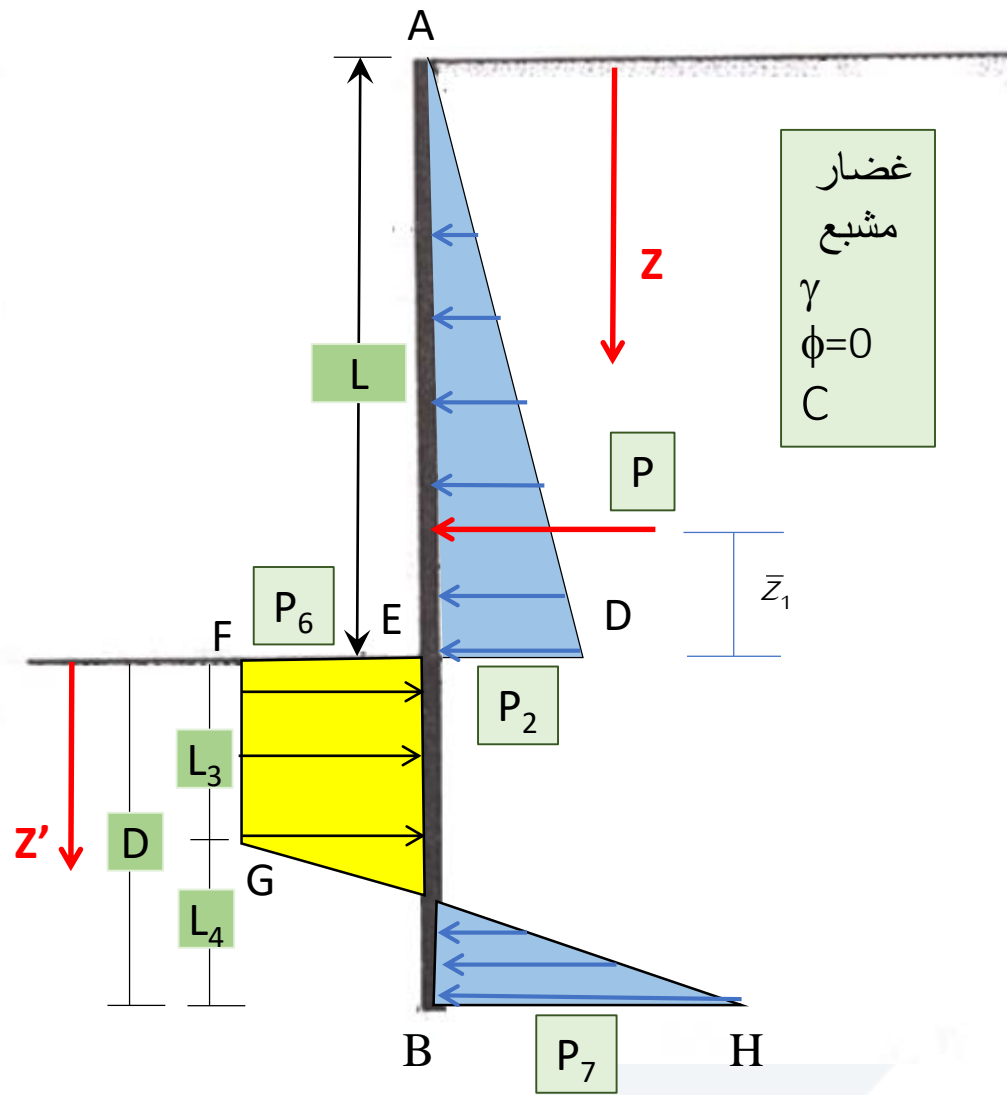
أما تحت خط التجريف فيؤخذ أثر هذا الضغط عن طريق إضافة  $P_{qs}$  إلى الضغط الشاقولي  $q$  عند منسوب التجريف بحيث يصبح :

$$q = \gamma_1 \cdot L_1 + \gamma_{1_{\text{sub}}} \cdot L_2 + q_s$$

وتصبح القوة  $P$  محصلة جميع الضغوط الجانبية على الجدار فوق منسوب التجريف، الناتجة عن التربة والحمولة الخارجية السطحية



## دراسة الصفائح الوتدية المغروزة في الغضار المشبع على كامل ارتفاع الصفيحة



$$K_a = K_p = 1$$

يسبب تماسك التربة تنشأ اجهادات شادة عند السطح وفي المنطقة القريبة منه، ويتم عادة إما فرض الاجهاد على السطح يساوي الصفر ويزداد هذا الاجهاد خطياً حتى قيمة الاجهاد المحسوب عند منسوب حوض التأسيس (خط التجريف) أو يتم إهمال هذه الاجهادات على كامل المنطقة المشدودة.

### 1- بفرض الاجهاد على السطح = 0

يتم في هذه الحالة فرض الاجهاد عند السطح يساوى الصفر ويزداد خطياً حتى قيمة الاجهاد المحسوبة عند منسوب حوض التأسيس

$$P_2 = \gamma \cdot L - 2C_u = q - 2C_u$$

$$P_6 = 4C_u - q$$

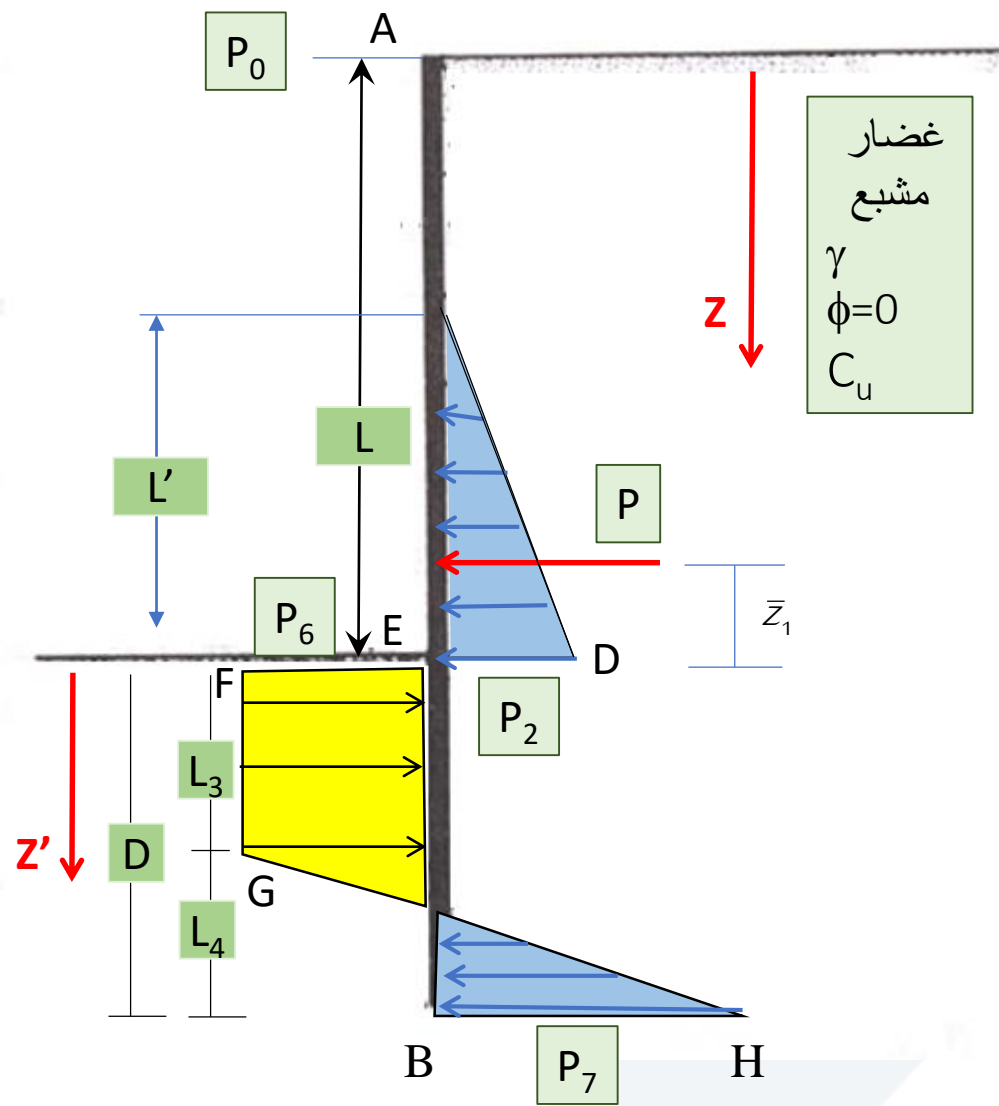
$$P_7 = 4C_u + q$$

$$q = \gamma \cdot L$$

$$\bar{Z}_1 = -\frac{L}{3}$$

## 2- بإهمال الشد على كامل الطول $L$

بتم في هذه الحالة إهمال هذه الإجهادات على كامل المنطقة المشدودة واعتبارها غير محملة.



$$K_a = K_p = 1$$

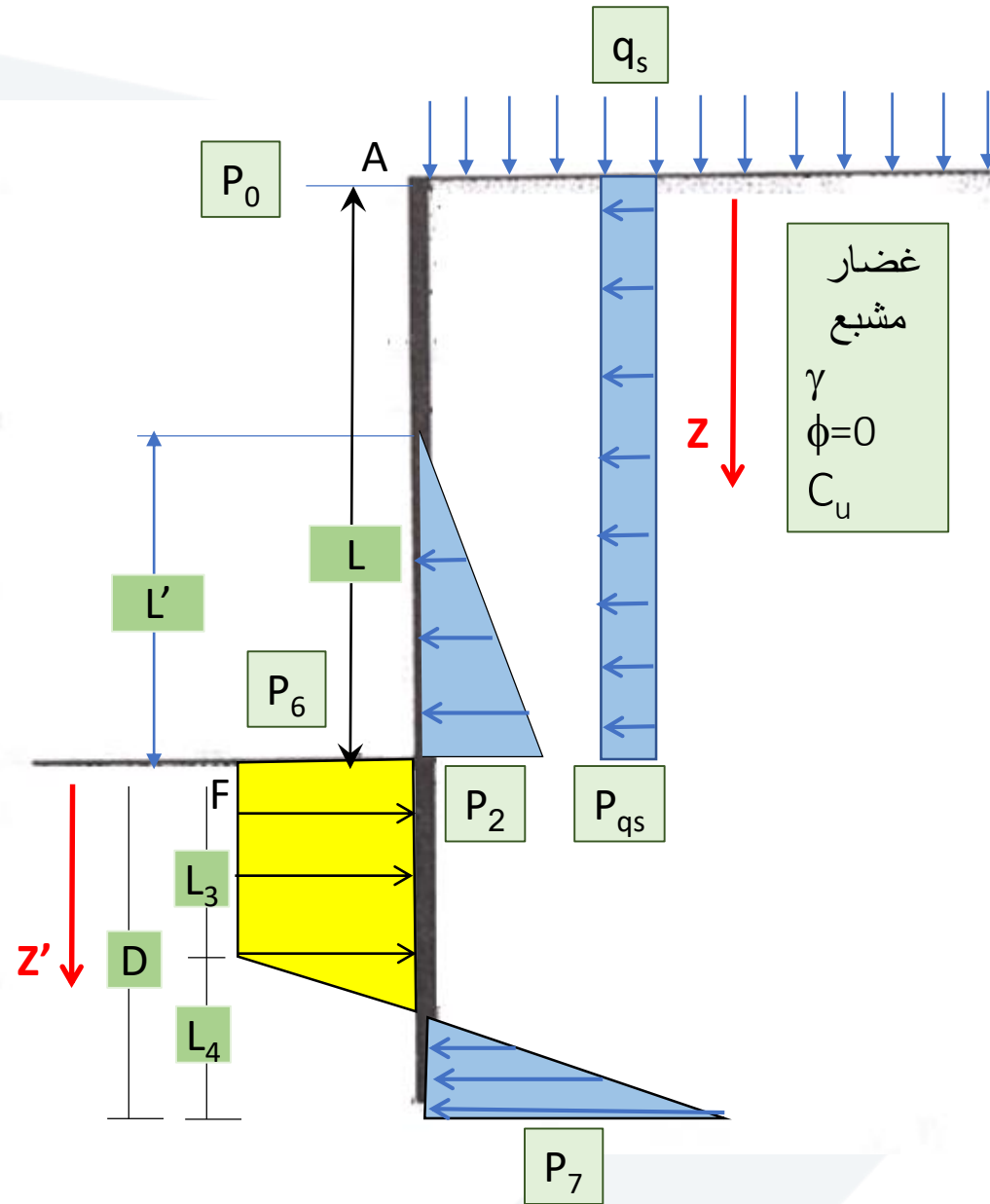
$$P_2 = \gamma \cdot L - 2C_u = q - 2C_u$$

$$P_6 = 4C_u - q$$

$$P_7 = 4C_u + q$$

$$\bar{Z}_1 = \frac{L'}{3}$$

$$q = \gamma \cdot L$$



دراسة الصفائح الوتدية الظفرية المغروزة في الغضار المشبع على كامل ارتفاع  
الصفيحة مع حمولة على السطح

2- باهتمال الشد على كامل الطول  $L$

$$K_a = K_p = 1$$

$$P_0 = -2C_u$$

تهمل

$$P_{qs} = q_s \cdot k_a = q_s$$

$$P_2 = \gamma \cdot L - 2C_u = q - 2C_u$$

$$P_2 = P_1 + P_q$$

$$P_6 = 4C_u - q$$

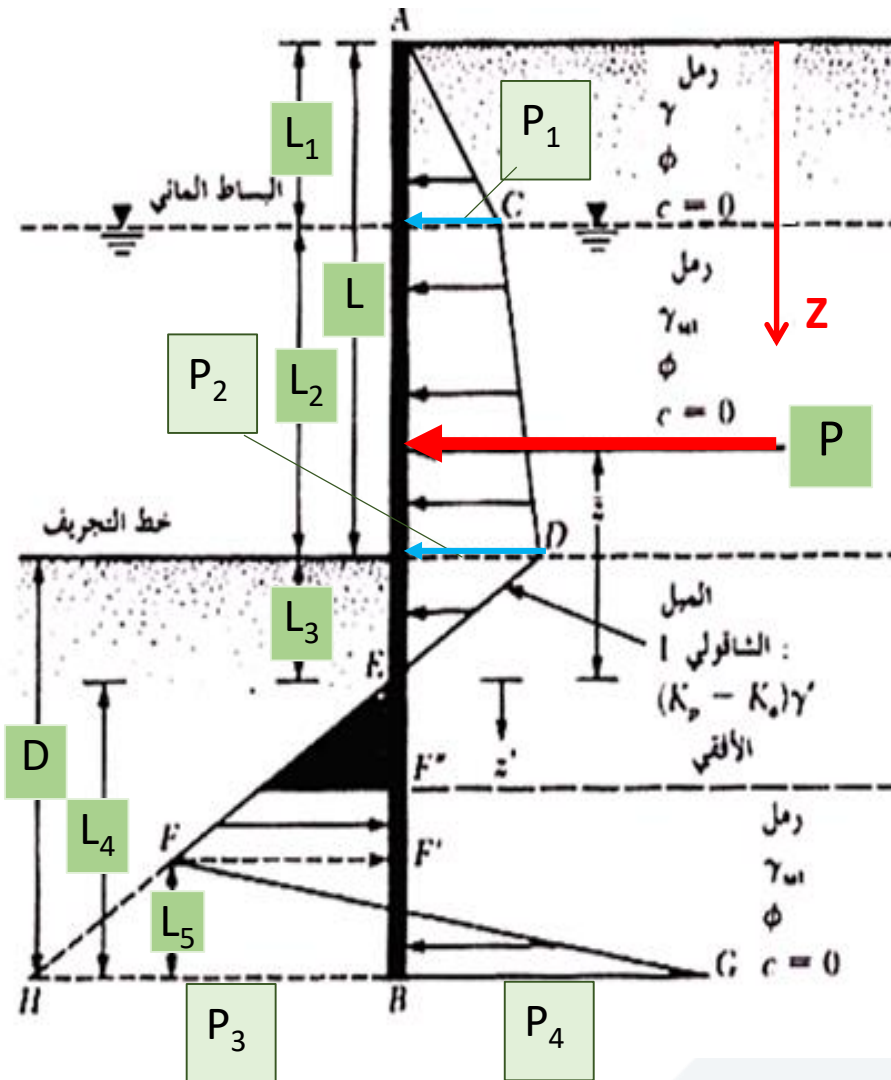
$$q = \gamma \cdot L + q_s$$

$$P_7 = 4C_u + q$$

$$q = \gamma \cdot L$$

## دراسة الصفائح الوتidea الظفرية المغروزة في الرمل

حسب رانكين



إعداد الدكتور رامي اسطه

$$P_1 = \gamma \cdot L_1 \cdot K_a \quad : K_a = \tan^2(45 - \phi/2)$$

$$P_2 = (\gamma \cdot L_1 + \gamma_{sub} \cdot L_2) K_a = q K_a$$

الاجهاد الفعال الناتج عن وزن التربة الفعال فوق  
منسوب أرضية حوض التأسيس

For  $L+D-L_5 \geq Z > L$

$$P_a = [q + \gamma_{sub} \cdot (Z - L)] K_a$$

$$P_p = \gamma_{sub} \cdot (Z - L) \cdot K_p \quad K_p = \tan^2(45 + \phi/2)$$

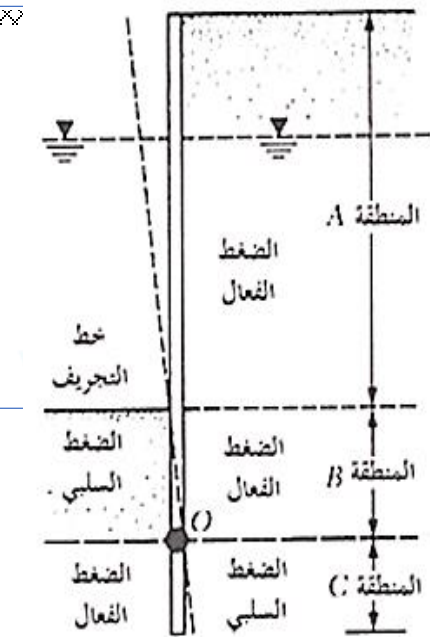
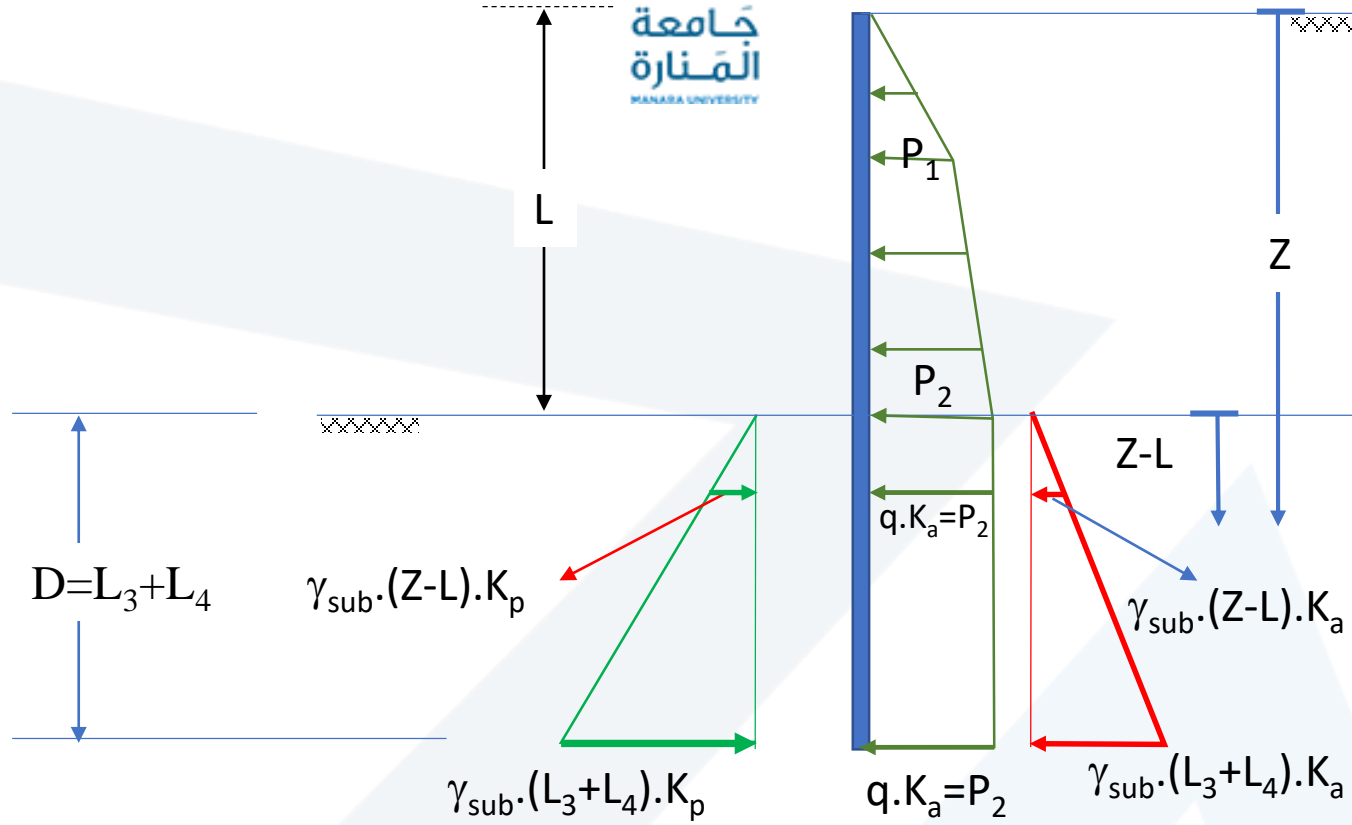
$$P(z) = P_a - P_p = q K_a - \gamma_{sub} \cdot (Z - L) \cdot (K_p - K_a)$$



For  $Z = L + L_3$

$$P(z) = P_2 - \gamma_{sub} \cdot L_3 \cdot (K_p - K_a) = 0$$

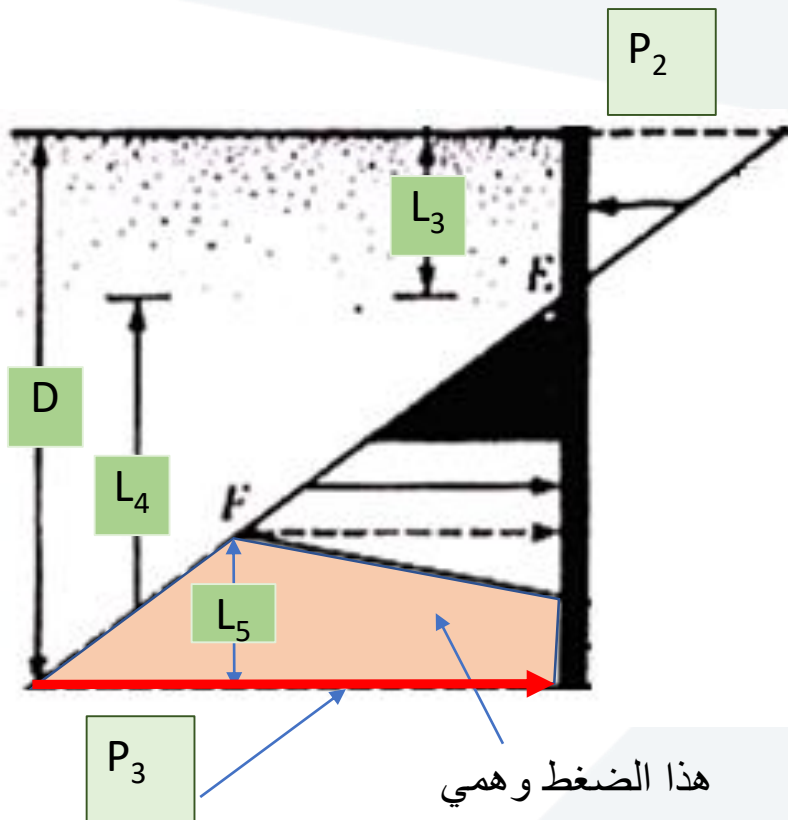
$$L_3 = \frac{P_2}{\gamma_{sub} (K_p - K_a)}$$



لو استمر توزع الضغط المعطى بالعلاقة السابقة حتى العمق  $Z = L + D$  يكون الضغط :

For  $Z = L + D$   $\rightarrow P(z) = p_3 = P_2 - \gamma_{\text{sub}} \cdot (L_3 + L_4) \cdot (K_p - K_a) = P_2 - \gamma_{\text{sub}} \cdot L_3 \cdot (K_p - K_a) - \gamma_{\text{sub}} \cdot L_4 \cdot (K_p - K_a) \rightarrow P_3 = -\gamma_{\text{sub}} \cdot L_4 \cdot (K_p - K_a)$

## طريقة ثانية لحساب $P_3$



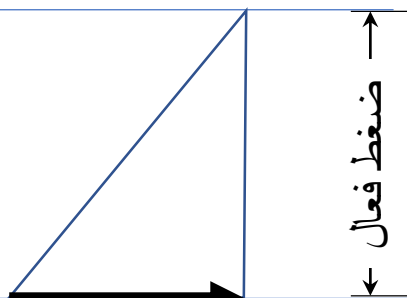
$$\frac{L_3}{L_3 + L_4} = \frac{p_2}{p_2 + p_3} \Rightarrow p_3 = p_2 \frac{L_4}{L_3}$$

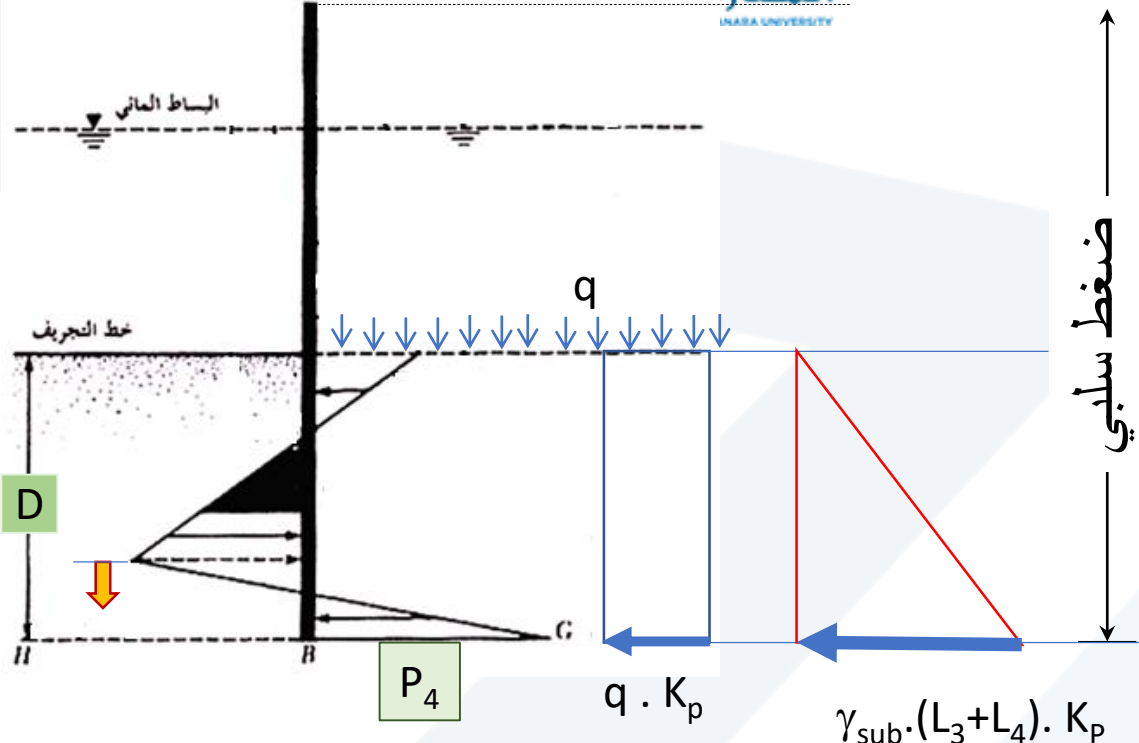
$$but, \frac{P_2}{L_3} = \gamma_{sub} (K_p - K_a) \Rightarrow$$

$$p_3 = \gamma_{sub} \cdot L_4 \cdot (K_p - K_a)$$

من تشابه المثلثات

ملاحظة: إن الضغط  $P_3$  المحسوب أعلاه وهمي وغير مطبق على الصفيحة الوتدية وهو يستخدم فقط كوسيلة مساعدة عند حساب توازن قوى الضغط على الجدار

$$\gamma_{\text{sub}} \cdot (L_3 + L_4) \cdot K_a$$




#### P4 حساب

عند العمق  $Z > L + D - L_5$  يكون :

$$P(z) = q \cdot k_p + \gamma_{\text{sub}} \cdot (Z - L) \cdot (K_p - K_a)$$

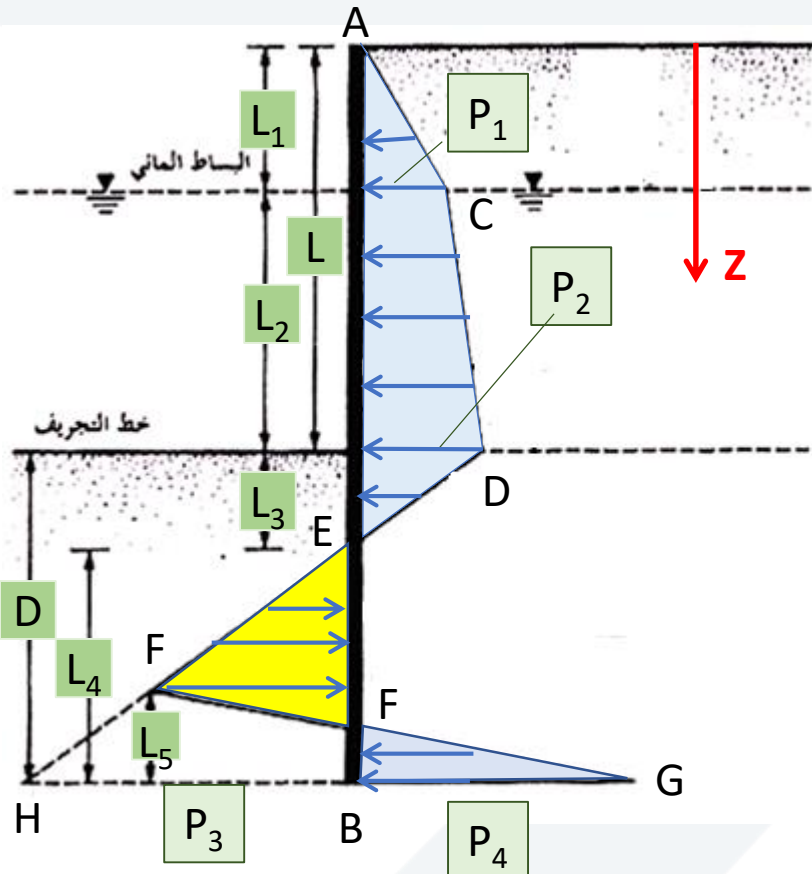
$$\text{حيث } q = (\gamma \cdot L_1 + \gamma_{\text{sub}} \cdot L_2)$$

عند العمق  $Z = L + D$  يكون لدينا:

$$P_4 = q \cdot K_p + \gamma_{\text{sub}} \cdot (L_3 + L_4) \cdot (K_p - K_a) = q \cdot k_p + \gamma_{\text{sub}} \cdot L_3 \cdot (K_p - K_a) + \gamma_{\text{sub}} \cdot L_4 \cdot (K_p - K_a)$$

$$P_5$$

$$P_3$$



$$P_1 = \gamma \cdot L_1 \cdot K_a$$

$$P_2 = (\gamma \cdot L_1 + \gamma_{sub} \cdot L_2) K_a = q K_a$$

$$P_3 = \gamma_{sub} \cdot L_4 (K_p - K_a)$$

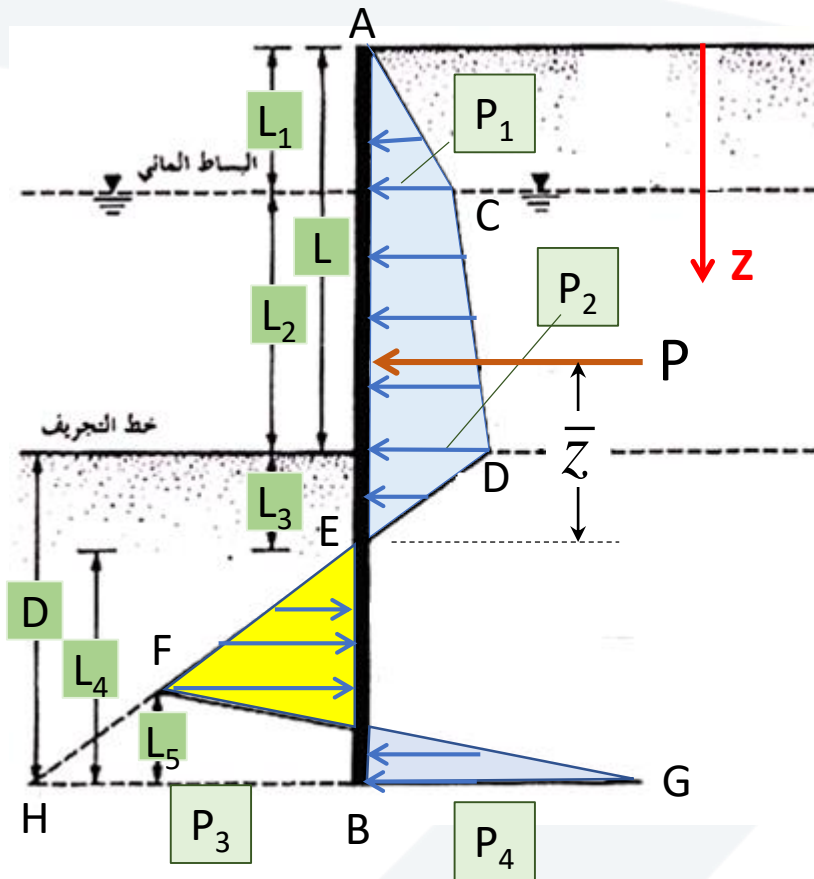
$$P_4 = \gamma_{sub} \cdot L_4 (K_p - K_a) + q K_p + \gamma_{sub} \cdot L_3 (K_p - K_a)$$

$$L_3 = \frac{P_2}{\gamma_{sub} (K_p - K_a)}$$

حساب طول غرز الصفيحة  $D = L_3 + L_4$

1- معادلة اسقاط للقوى على المحور الأفقي  $\sum F_x = 0$

2- معادلة عزم حول النقطة B  $\sum MB = 0$



$$\Sigma F_x = 0 \rightarrow A_{(ACDE)} - A_{(EFHB)} + A_{(FHBG)} = 0$$

$$\rightarrow P - \frac{1}{2} P_3 \cdot L_4 + \frac{1}{2} (P_3 + P_4) \cdot L_5 = 0$$

$$\rightarrow L_5 = \frac{P_3 \cdot L_4 - 2P}{P_3 + P_4}$$

$$\Sigma M_B = 0$$

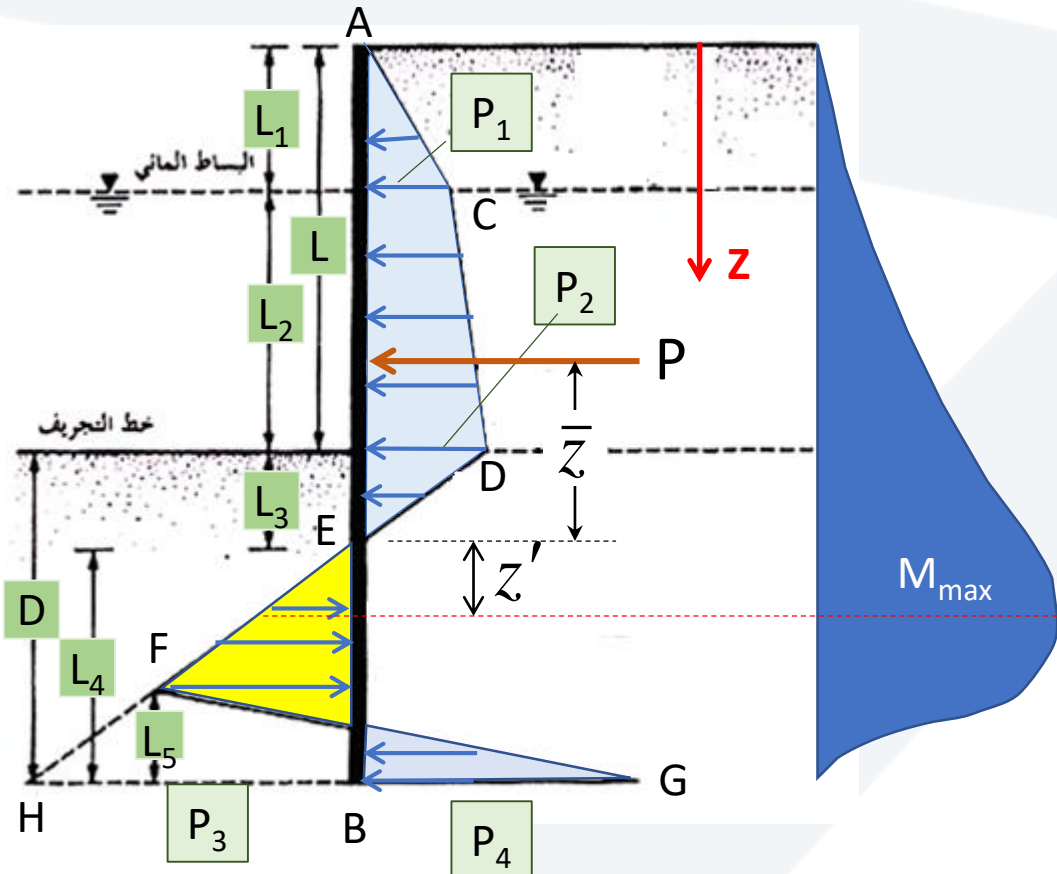
$$\Rightarrow P(L_4 + \bar{Z}) - \frac{1}{2} P_3 \cdot L_4 \cdot \frac{L_4}{3} + \frac{1}{2} (P_3 + P_4) \cdot L_5 \cdot \frac{L_5}{3} = 0$$

وهي معادلة من الدرجة الرابعة بالنسبة إلى  $L_4$

ومنها نحصل على  $L_4$  بالحل نحصل على  $D = L_3 + L_4$

، أي أن: 30% للأمان نزيد طول الغرز الحسابي بمقدار

$$D_{\text{eff}} = 1.3 D$$

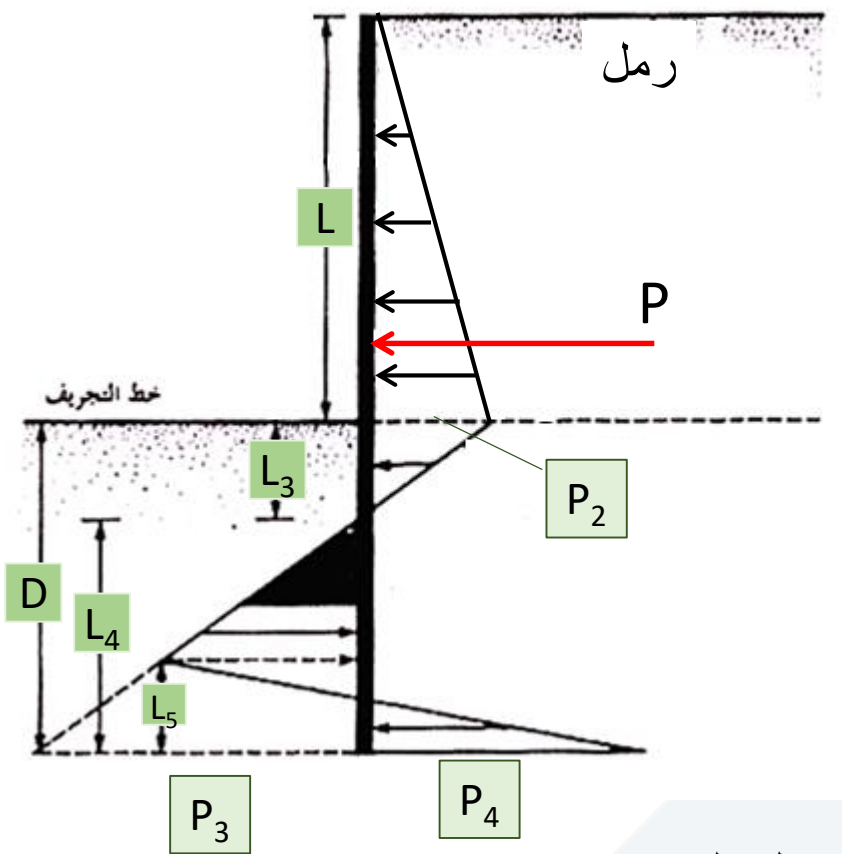


$$Q = 0 \Rightarrow P - \frac{1}{2} \cdot \gamma_{sub} \cdot Z' (K_p - K_a) \cdot Z' = 0$$

$$\rightarrow Z' = \sqrt{\frac{2P}{\gamma_{sub} \cdot (K_p - K_a)}}$$

$$M_{max} = P(\bar{Z} + Z') - \frac{1}{2} \cdot \gamma_{sub} \cdot Z'^2 (K_p - K_a) \cdot \frac{Z'}{3}$$

## حالة الصفائح الوتدية المدقوقة في الترب الرملية في حالة غياب المياه الجوفية



$$P_2 = \gamma \cdot L \cdot K_a$$

$$P_3 = \gamma \cdot L_4 \cdot (K_p - K_a)$$

$$P_4 = \gamma \cdot L \cdot K_p + \gamma \cdot L_3 (K_p - K_a) + \gamma \cdot L_4 (K_p - K_a)$$

$$L_3 = \frac{L \cdot K_a}{(K_p - K_a)}$$

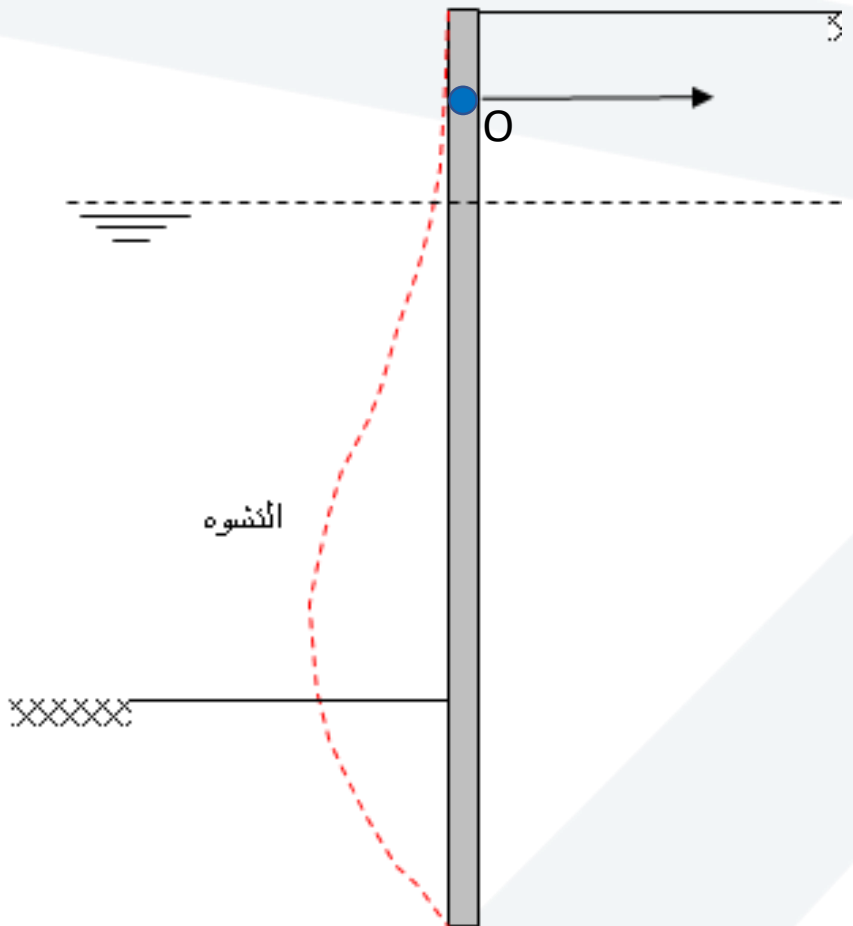
$$P = \frac{1}{2} P_2 \cdot L + \frac{1}{2} P_2 \cdot L_3$$

إيجاد  $L_5$ : تحسب  $L_5$  من معادلة إسقاط القوى باتجاه  $x$  نحصل على  $L_5$  بدلالة  $L_4$

إيجاد  $L_4$ : (D = L<sub>3</sub> + L<sub>4</sub>) و من ثم عمق الغرز

من معادلة عزوم حول B :  $\Sigma M_B = 0$   $\Leftarrow$  نحصل على معادلة من الدرجة الرابعة بالنسبة لـ  $L_4$  بحلها نحصل على  $L_4$

## 2.6 دراسة الجدران الوتية المثبتة بواسطة الشدادات

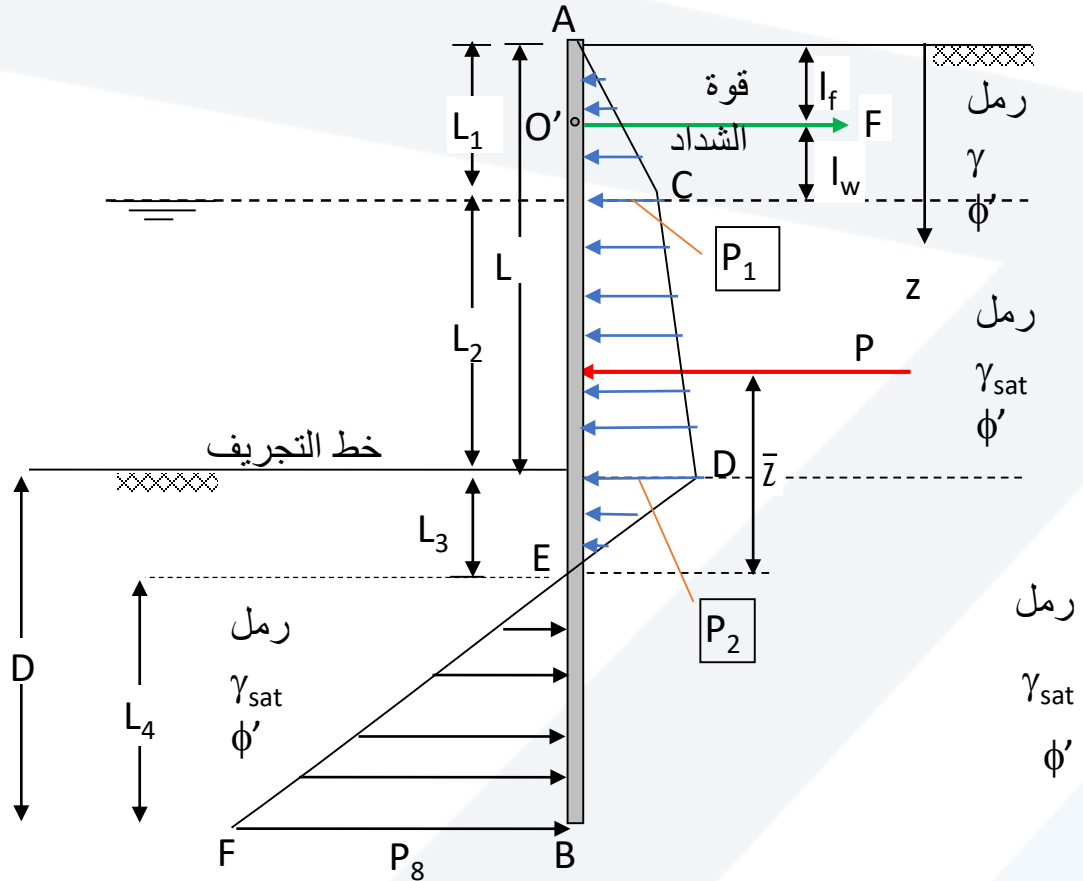


عندما يتجاوز ارتفاع الردم خلف جدار وتدي ظفري 6m يصبح من الضروري اقتصادياً تثبيته قرب نهايته العلوية باستخدام قضبان ربط أو تثبيت (شدادات) مما يسمح بالتقليل من عمق الغرز المطلوب ل scafage الوتدية و يقلل من مساحة المقطع العرضي و وزن الأوتاد الصفائحية اللازمة للإنشاء.

في هذه الحالة لا يحدث دوران للجدار حول نقطة تقع ضمن التربة وفي الجزء السفلي من الجدار الوتدي كما رأينا في حالة الجدران الوتدية الظفرية وإنما يتم الدوران حول نقطة اتصال الشداد بالجدار الوتدي (النقطة 0).

يمكن تمثيل تغيرات التشوّه والعزم لجدار وتدي مثبت كما هو مبين بالشكل من أجل التمكن من حل المسألة باعتبارها مسألة تشوّهات مستوية نفترض أن الشداد مستمر في المستوى الموازي له وبحيث تحسب قوة الشداد على المتر الطولي.

## دراسة الصفائح الوتدية المثبتة المغروزة في الرمل



$$P_1 = \gamma \cdot L_1 \cdot K_a$$

$$P_2 = (\gamma \cdot L_1 + \gamma_{sub} \cdot L_2) K_a = q K_a$$

$$L_3 = \frac{P_2}{\gamma_{sub} (K_p - K_a)}$$

$$P_8 = \gamma_{sub} \cdot L_4 (K_p - K_a)$$

## تحديد عمق الغرز

معادلة عزم حول O:

$$-P \cdot (L_w + L_2 + L_3 - \bar{Z}) + \frac{1}{2} P_8 L_4 \cdot (l_w + L_2 + L_3 + \frac{2}{3} L_4) = 0$$

$$-P \cdot (L_w + L_2 + L_3 - \bar{Z}) + \frac{1}{2} [\gamma_{sub} (k_p - k_a)] L_4^2 \cdot (l_w + L_2 + L_3 + \frac{2}{3} L_4) = 0$$

معادلة من الدرجة الثالثة بالنسبة لـ  $L_4$  بحلها بطريقـة التجـيـب نـحـصـل عـلـى  $L_4$

فيـكون العـمق النـظـري لـغـرـز الصـفـائـح الـوـتـديـة D مـن الـعـلـاقـة:

$$D = L_3 + L_4$$

ملاحظة: نـحـصـل عـلـى عـمق الغـرـز الـفـعـلي بـزيـادـة D بـمـقـدـار 40% (نـأـخـذ D 1.4D)

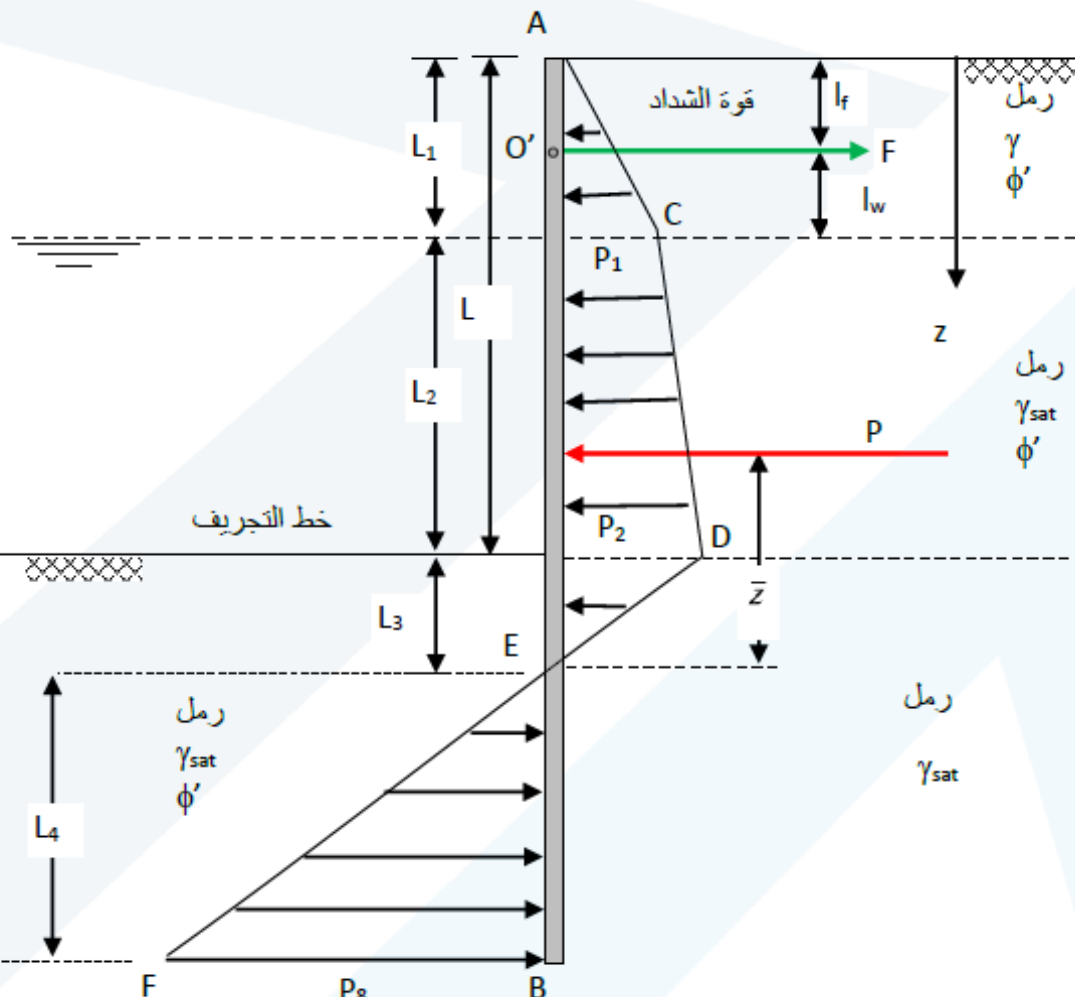
## تحديد قوة الشداد

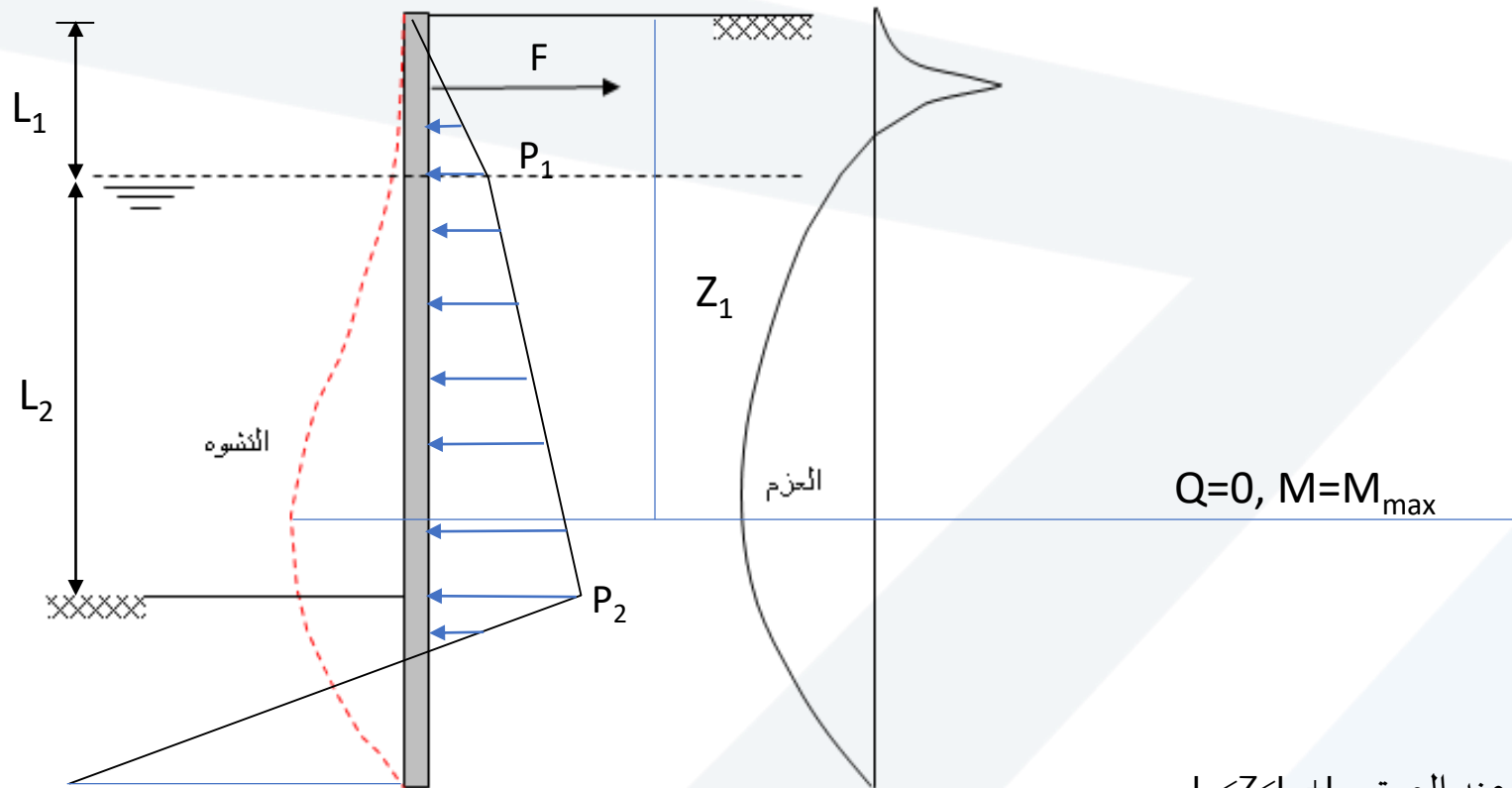
معادلة إسقاط القوى الأفقية:  $\sum F = 0$

$$A_{(ACDE)} - A_{(EBF)} - F = 0$$

$$P - \frac{1}{2} P_8 \cdot L_4 - F = 0 \Leftrightarrow P - \frac{1}{2} \gamma_{sub} (K_p - K_a) L_4^2 - F = 0$$

$$\Rightarrow F = P - \frac{1}{2} [\gamma_{sub} (K_p - K_a)] L_4^2$$





$$Q=0, M=M_{\max}$$

$$Q=0 \Rightarrow \frac{1}{2}P_1 \cdot L_1 - F + P_1(Z_1 - L_1) + \frac{1}{2} \cdot K_a \cdot \gamma_{\text{sub}} \cdot (Z_1 - L_1)^2 = 0 \Rightarrow Z_1$$

نحسب عزم الانعطاف الناتج عن القوى الضغوط الموجودة ضمن العمق  $Z_1$